

**BİS-(TSİKLOPENTADİENİLDİKARBONİLDƏMİR(I)) KOMPLEKSİNİN  
METİL HOMOLOQLARININ SİNTEZİ, İQ- VƏ  $^1\text{H}$  NMR-SPEKTROSKOPİYA  
ÜSULLARI İLƏ TƏDQİQİ**

**Nigar Ziya qızı İbrahimova, Gülanə Natig qızı Şükürlü,  
Qəzənfər Müzəffər oğlu Cəfərov, İltifat Urşan oğlu Lətifov**  
*Azərbaycan Respublikası Elm və Təhsil Nazirliyi akademik M.F.Nağıyev adına  
Kataliz və Qeyri-iżvi kimya İnstitutu, Bakı, Azərbaycan*

**SYNTHESIS OF METHYL HOMOLOGUES OF BIS-(CYCLOPENTADIENYL-DICARBONYL IRON (I))  
COMPLEX, STUDY BY IR- AND  $^1\text{H}$  NMR SPECTROSCOPY METHODS**

**Nigar Ziya Ibrahimova, Gulana Natig Shukurlu, Gazanfar Muzaffar Jafarov, Iltifat Urshan Lyatifov**  
*Acad. M. Nagiyev Institute of Catalysis and Inorganic Chemistry Ministry of Science and Education  
of the Republic of Azerbaijan, Baku, Azerbaijan: nigar-ibrahimova93@mail.ru, gulaneshukurlu020@gmail.com,  
jqazanfar@mail.ru, iltifatl@mail.ru  
<https://orcid.org/0000-0003-3721-0039>, <https://orcid.org/0009-0008-0086-477X>  
<https://orcid.org/0000-0002-3983-1018>, <https://orcid.org/0000-0002-1341-9404>*

**Abstract.** Three dimer complexes of iron  $[\text{Me}_n\text{C}_5\text{H}_{5-n}\text{Fe}(\text{CO})_2]_2$  ( $n = 2, 3, 5$ ) were obtained from the interaction of methyl homologues of cyclopentadiene (1,3-dimethyl-, 1,2,4-trimethyl- and 1,2,3,4,5-pentamethylcyclopentadien) with iron pentacarbonyl. The complexes were characterized by melting temperatures, infrared (IR) and proton magnetic resonance ( $^1\text{H}$  NMR) spectra. It was determined that despite the monotonous increase in the melting temperature of the complexes in the  $[\text{C}_5\text{H}_5\text{Fe}(\text{CO})_2]_2 \rightarrow [\text{Me}_2\text{C}_5\text{H}_3\text{Fe}(\text{CO})_2]_2 \rightarrow [\text{Me}_3\text{C}_5\text{H}_2\text{Fe}(\text{CO})_2]_2 \rightarrow [\text{Me}_5\text{C}_5\text{H}_0\text{Fe}(\text{CO})_2]_2$  sequence, the complexes with 2 and 3 methyl groups in the ring ( $n = 2, 3$ ) undergo severe thermal decomposition during melting. The investigation (analysis) of the reasons for the change in the frequencies of the valence vibration of the  $\text{C}\equiv\text{O}$  bond in the indicated order allowed to associate the observed thermal behavior of the complexes with the steric and electronic interactions between the methyl and carbonyl groups. The obtained results suggest that among the four studied complexes, the complexes with two and three methyl groups in the cyclopentadienyl ring ( $[\text{Me}_2\text{C}_5\text{H}_3\text{Fe}(\text{CO})_2]_2$ ,  $[\text{Me}_3\text{C}_5\text{H}_2\text{Fe}(\text{CO})_2]_2$ ) are more promising as precursors in the synthesis of carbon nanotubes.

**Keywords:** bis-(cyclopentadienyldicarbonyliron(I)), thermal stability, steric and electronic interaction, frequencies of the valence vibration

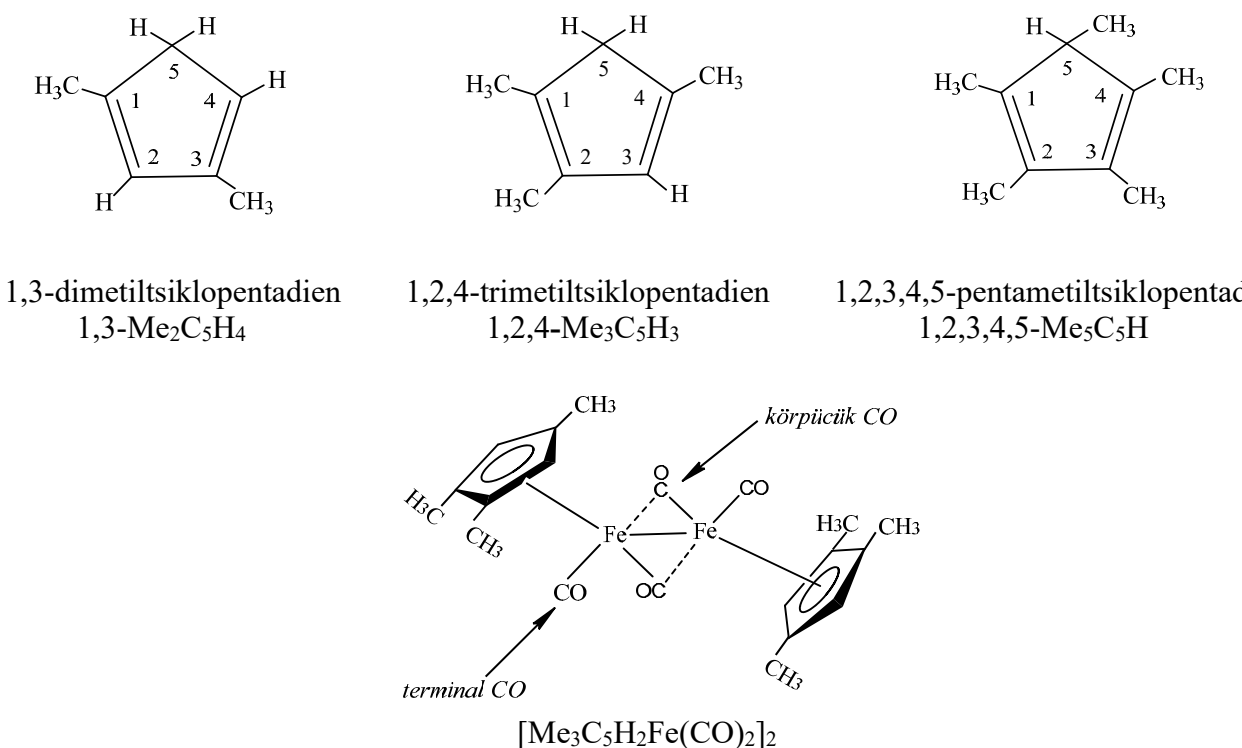
© 2023 Azerbaijan Technical University. All rights reserved.

### Giriş

Keçid metalların alkilsiklopentadienilkarbonil dimer kompleksləri üzvi birləşmələrin termiki pirolizi ilə karbon nanoboruların (KN) sintezində prekursor kimi tətbiq və tədqiq olunur [1,2]. Bu tip komplekslərə maraq həmçinin metal-tsiklopentadienil halqası və metal-karbonil qrupları arasındaki kimyəvi rabitənin xüsusiyyətlərinin və molekulda sterik qarşılıqlı təsirin araşdırılması ilə də əla-qədardır [3, 4].

KN-in maddənin buxarının termiki parçalanması yolu ilə alınmasını nəzərə alaraq tədqiqatda nisbətən asan parçalanan komplekslərin sintezi və tədqiqi nəzərdə tutulmuşdur. Bu məqsədlə biz tərkibində iki metal atomu və karbonil qrupları, həmçinin halqasında çox sayıda metil qrupu olan dimer komplekslərin alınmasını qarşımıza qoymuşdur. Konkret olaraq metal atomu kimi dəmir atomundan, tsiklopentadienil liqandi kimi 1,3-dimetil-, 1,2,4-tetrametil- və 1,2,3,4,5-pentametilsiklopentadienil liqandlarından istifadə edilməsini məqsədə uyğun hesab etdik. Fikrimizcə, molekulda zəif birqat M–M rabitəsinin və böyük həcmə malik alkilsiklopentadienil liqandının olması, həmçinin parçalanma zamanı çox sayıda qazvari CO molekullarının əmələgəlməsi KN-in alınmasında dəmirin metilsiklopentadienildikarbonil dimer komplekslərinin prekursor funksiyalarını yerinə yetirməsinə şərait yarada bilər.

Aşağıda 1,3-dimetil-, 1,2,4-trimetil- və 1,2,3,4,5-pentametilsiklopentadien liqandlarının, həmçinin alınması nəzərdə tutulan son məhsullardan –  $[\text{Me}_n\text{C}_5\text{H}_{5-n}\text{Fe}(\text{CO})_2]_2$  ( $n=2, 3, 5$ ) komplekslərindən birinin ( $n=3$ ) quruluşu sxematik şəkildə göstərilmişdir:



Bis-(1,3-dimetiltsiklopentadienildikarbonildəmir(I)), bis-(1,2,4-tetrametiltsiklopentadienildikarbonildəmir(I)) və bis-(pentametiltsiklopentadienildikarbonildəmir(I)) komplekslərinin alınması, İQ- (CO diapazonu) və  $^1\text{H}$  NMR-spektroskopiya üsulları ilə tədqiqinin nəticələri ilə tanış olaq.

### Təcrübi hissə

1,3-dimetiltsiklopentadien və 1,2,4-trimetiltsiklopentadien dimetilviniletinilkarbonildən, 1,2,3, 4,5-pentametiltsiklopentadien isə dietiketondan istifadə edilməklə sintez olunmuşdur [5, s. 48].

Dəmirin dimer kompleksləri müvafiq metiltsiklopentadienlərin ( $\text{Me}_n\text{C}_5\text{H}_{6-n}$ ,  $n=2, 3, 5$ ) argon mühitində dəmir pentakarbonillə  $[\text{Fe}(\text{CO})_5]$  qarşılıqlı təsirindən alınmışdır [6, s. 1983-1984.]:



Liqandın tərkibindəki Me qrupunun sayından asılı olaraq, reaksiya 8–12 saat ərzində başa çatır. Reaksiyanın gedişinə İQ-spektroskopik üsulla nəzarət edilir. Belə ki, reaksiyanın sonunda ilkin dəmir-pentakarbonilin xarakterik udma zolaqları (təxminən  $2020$  və  $2000\text{ sm}^{-1}$  ətrafında [7]) yox olur və spektrdə onların əvəzinə dəmirin dimer komplekslərinə xarakterik olan [8] udma zolaqlar ( $1995$ – $1930$ ,  $1780$ – $1760\text{ sm}^{-1}$  diapazonunda; cədvəl) müşahidə edilir. Tədqiqatda dimer komplekslərin çıxımına təsir edən amillərin (temperatur, həllədicinin təbiəti, reaksiya müddəti və s. rolu müəyyəyən edilmiş, alınmış komplekslər ( $[\text{Me}_n\text{C}_5\text{H}_{5-n}\text{Fe}(\text{CO})_2]_2$   $n = 2, 3, 5$ ) ərimə temperaturu ( $n=2, 3$  olduqda ərimə prosesi zamanı maddənin nəzərəçarpacaq dərəcədə parçalanması da baş verir), İQ (CO diapazonu)- və  $^1\text{H}$  NMR-spektroskopiya üsulları ilə xarakterizə olunmuşdur (cədvəl).

### Nəticələrin müzakirəsi

Cədvəldən görünür ki, dəmirin yuxarıda sadalanan metiltsiklopentadienildikarbonil dimer komplekslərinin İQ-spekrində terminal karbonil qruplarının  $\text{C}\equiv\text{O}$  valent rəqslərinin tezliyi  $1995$ – $1930\text{ sm}^{-1}$ , körpücük tipli karbonil qruplarının valent rəqslərinin tezliyi isə  $1780$ – $1760\text{ sm}^{-1}$  intervalında

müşahidə olunur [3, 8]. Karbon-monooksid qazının, yəni metal atomu ilə koordinasiya olunmamış sərbəst karbonil qrupun  $C\equiv O$  valent rəqsinin tezliyi  $2143 \text{ sm}^{-1}$ -də müşahidə edilir [7] (cədvəl). Deməli, bizim komplekslərdə koordinə olunmuş terminal CO liqandin valent rəqslərinin udma zolaqları ( $1995-1930 \text{ sm}^{-1}$ ) İQ-spektrdə sərbəst CO-nun udma zolağından ( $2143 \text{ sm}^{-1}$ ) təxminən  $150-200 \text{ sm}^{-1}$  qipsoxrom sürüşməyə məruz qalmışdır. Qeyd etmək lazımdır ki, bu hadisənin səbəbi M-CO rabbitəsində metal atomu kimi məhz dəmir atomunun iştirakı ilə əlaqəli deyil. Metalkarbonil komplekslərin İQ spektrində qipsoxrom sürüşmə M-CO fragmentində istənilən keçid metal atomu olduqda da müşahidə olunur [9, 10]. Ona görə aşağıda verilən bu hadisənin izahında dəmir atomu əvəzinə keçid metal (KM) atomu anlayışından istifadə edilməsi daha məqsədə uyğundur.

Sintez olunmuş komplekslərin ( $[Me_nC_5H_{5-n}Fe(CO)_2]_2$  n = 2, 3, 5) ərimə temperaturları ( $t_{\text{or.}}$ ), həmçinin İQ- və  $^1\text{H}$  NMR-spektrlərindən əldə olunmuş parametrlər (müqayisə üçün karbon-monooksid və  $[C_5H_5Fe(CO)_2]_2$  kompleksinə dair müvafiq parametrlər də verilmişdir)

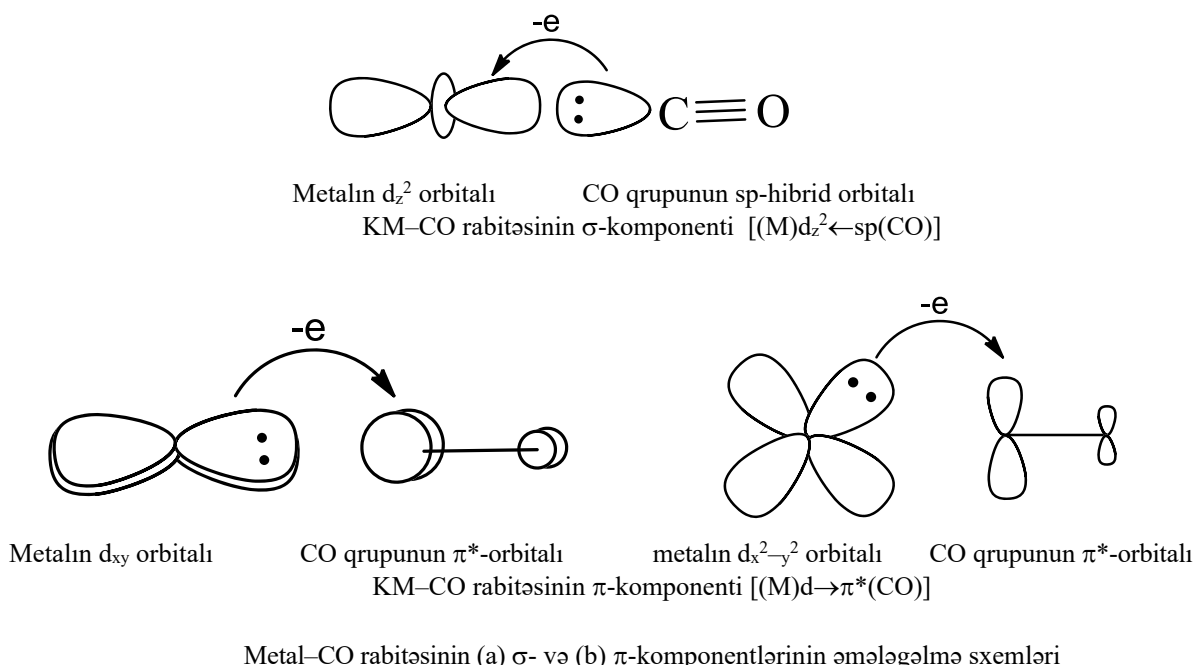
| Birləşmə                                                                               | Terminal və körpücük CO qruplarının İQ-spektrdə valent rəqslərinin tezliyinin qiymətləri |                             | $^1\text{H}$ NMR-spektrdə kimyəvi sürüşmənin ( $\delta$ ) qiymətləri |                               |      |
|----------------------------------------------------------------------------------------|------------------------------------------------------------------------------------------|-----------------------------|----------------------------------------------------------------------|-------------------------------|------|
|                                                                                        | $\nu(C\equiv O); \text{sm}^{-1}$                                                         | $\nu(>C=O); \text{sm}^{-1}$ | $\delta H(Cp); \text{m.h.}$                                          | $\delta H(CH_3); \text{m.h.}$ |      |
| $[C_5H_5Fe(CO)_2]_2$<br>$t_{\text{or.}}=194^\circ\text{C}$ (zəif parç.ilə)             | 2006; 1961.5                                                                             | 1794                        | 4.70                                                                 |                               | —    |
| $[Me_2C_5H_3Fe(CO)_2]_2$<br>$t_{\text{or.}}=211^\circ\text{C}$ (şiddətli parç.ilə)     | 1995; 1950                                                                               | 1780                        | 4.37                                                                 | 4.26                          | 1.96 |
| $[Me_3C_5H_2Fe(CO)_2]_2$<br>$t_{\text{or.}}=226^\circ\text{C}$ (şiddətli parç.ilə)     | 1990; 1944                                                                               | 1775                        | 4.10                                                                 | 1.87                          | 1.83 |
| $[Me_5C_5Fe(CO)_2]_2$<br>$t_{\text{or.}}\approx 279^\circ\text{C}$ (çox zəif parç.ilə) | 1930                                                                                     | 1760                        | —                                                                    |                               | 1.69 |
| Karbon-monooksid, CO [7]                                                               | 2143                                                                                     | —                           | —                                                                    |                               | —    |

İQ-spektr (heksanda) Nicolet IS10 cihazında çəkilmişdir.

$^1\text{H}$  NMR spektrlər Bruker-300 Mhs spektrometrində və deyterxloroformda ( $CDCl_3$ ) çəkilmişdir. Daxili etalon kimi tetrametilsilandan ( $Si(CH_3)_4$ ) istifadə edilmişdir.

Yuxarıda qeyd edilən qipsoxrom sürüşmənin səbəbi KM atomu və CO qrupu arasında yaranmış KM-CO rabbitəsinin  $\sigma$ -rabbitə ilə yanaşı, həm də  $\pi$ -rabbitədən təşkil olunması ilə əlaqədardır [5, s. 140-142], [9,10]. Belə ki,  $\sigma$ -rabbitə CO qrupunun 2 elektrona malik sp-hibrid orbitalının metal atomunun boş (vakant)  $d_{z^2}$ -orbitalı ilə  $\sigma$ -qapanması nəticəsində əmələ gəlir (şəkil sxem a).  $\sigma$ -qapanma nəticəsində elektron sıxlığı CO qrupundan M atomu istiqamətində sürüsür və metal atomu nüvəsinin effektiv yükünün azalmasına səbəb olur. Nüvənin effektiv yükünün azalması öz növbəsində metal atomunun  $d_{xy}$  və  $d_x^2-y^2$  elektron sıxlığının karbonil qrupunun akseptor xassəli vakant boşaldıcı  $\pi^*$ -orbitalları istiqamətində ( $M(d)\rightarrow\pi^*CO$ ) yerdəyişməsinə (şəkil sxem b), başqa sözlə, keçid metal atomu və CO qrupu arasında  $\pi$ -rabbitənin əmələgəlməsinə imkan yaradır.  $\pi$ -rabbitənin yaranması üçqat  $C\equiv O$  rabbitəsinin tərtibinin bir qədər azalmasına səbəb olur, çünki yerdəyişmədə iştirak edən metalın d-elektron sıxlığı CO-nun boşaldıcı  $\pi^*$ -orbitallarında yerləşir. Ona görə üçqat  $C\equiv O$  rabbitəsinin zəifləməsi cədvəldə göstərilən kimi  $C\equiv O$  valent rəqslərinin tezliyinin azalmasına səbəb olur.

Beləliklə,  $[Me_nC_5H_{5-n}Fe(CO)_2]_2$  (n = 2, 3, 5) komplekslərin İQ-spektrlərində udma zolaqlarının sərbəst karbonil (CO) liqandinin udma zolağından  $150-200 \text{ sm}^{-1}$  cıvarında qipsoxrom sürüşməsi bu komplekslərin tərkibindəki üçqat  $C\equiv O$  rabbitəsinin tərtibinin azalması ilə əlaqədardır.



Cədvəldən görünür ki,  $C\equiv O$  valent rəqslərin tezliyinin azalması həmçinin  $[C_5H_5Fe(CO)_2]_2$  ( $2006 \text{ sm}^{-1}$ )  $\rightarrow$   $[Me_2C_5H_3Fe(CO)_2]_2$  ( $1995 \text{ sm}^{-1}$ )  $\rightarrow$   $[Me_3C_5H_2Fe(CO)_2]_2$  ( $1990 \text{ sm}^{-1}$ )  $\rightarrow$   $[Me_5C_5Fe(CO)_2]_2$  ( $1930 \text{ sm}^{-1}$ ) sırası üzrə də baş verir. Mahiyyətə bu azalmanın da səbəbi eynidir – dəmirin dolmuş  $d_{xy}$  və  $d_x^2-y^2$  orbitallarında yerləşmiş elektronların CO qrupunun akseptor xassəli vakant boşaldıcı  $\pi^*$ -orbitalları istiqamətində qismən sürüşməsi ilə əlaqədardır.  $C\equiv O$  valent rəqslərin tezliyinin qiymətlərindən ( $2006 \rightarrow 1995 \rightarrow 1990 \rightarrow 1930 \text{ sm}^{-1}$ ) görünür ki, elektron sıxlığının qismən sürüşməsi yuxarıda göstərilən sırada ( $n = 0 \rightarrow 2 \rightarrow 3 \rightarrow 5$ ) ardıcıl şəkildə davam edir (artır). Başqa sözlə, İQ-spektroskopiya üsulu ilə əldə etdiyimiz nəticələr araşdırılan komplekslərin  $n = 0 \rightarrow 2 \rightarrow 3 \rightarrow 5$  ardıcılığında Fe-CO rabitənin  $\pi$ -komponentinin get-gedə güclənməsini göstərir. Fe-CO rabitənin  $\pi$ -komponentinin get-gedə güclənməsinin səbəbini belə təsəvvür edirik.

Araşdırılan komplekslərin  $n = 0 \rightarrow 2 \rightarrow 3 \rightarrow 5$  ardıcılığında molekulda elektrodonor xassəli metil qruplarının sayı ( $2n$ ) artır ( $0 \rightarrow 4 \rightarrow 6 \rightarrow 10$ ). Bunun nəticəsində dəmir atomun nüvəsinin müsbət effektiv yükü get-gedə azalır. Nüvənin effektiv yükünün  $[C_5H_5Fe(CO)_2]_2 \rightarrow [Me_2C_5H_3Fe(CO)_2]_2 \rightarrow [Me_3C_5H_2Fe(CO)_2]_2 \rightarrow [Me_5C_5Fe(CO)_2]_2$  sırası üzrə azalması dəmir atomunun d-elektron sıxlığının karbonil qrupunun akseptor xassəli boşaldıcı  $\pi^*$ -orbitalları istiqamətində ( $Fe(d) \rightarrow \pi^*CO$ ) get-gedə daha çox dərəcədə yerdəyişməsinə imkan verir. Bu da üçqat  $C\equiv O$  rabitəsinin tərtibinin get-gedə azalmasına səbəb olur. Üçqat  $C\equiv O$  rabitəsinin zəifləməsi isə  $C\equiv O$  valent rəqslərinin tezliyinin azalmasında öz əksinin tapır:  $2006 \rightarrow 1995 \rightarrow 1990 \rightarrow 1930 \text{ sm}^{-1}$ .

Beləliklə,  $[Me_nC_5H_{5-n}Fe(CO)_2]_2$  ( $n = 0, 2, 3, 5$ ) kompleksləri üzrə aparılan araşdırımdan belə nəticə çıxarıraq ki, komplekslərin  $n = 0 \rightarrow 2 \rightarrow 3 \rightarrow 5$  ardıcılığında Fe-CO rabitəsində  $\pi$ -komponentinin tərtibi get-gedə artır,  $C\equiv O$  rabitəsinin tərtibi isə get-gedə azalır. Başqa sözlə,  $n$ -nin qiyməti artıqca bu sırada Fe-CO rabitəsinin möhkəmliyi artır.

Bu nəticənin araşdırılan komplekslərin termiki parçalanması ilə əlaqələndirməzdən əvvəl qeyd etmək lazımdır ki,  $n$ -nin qiyməti artıqca sistemdə sterik gərginlik də artır, çünkü tsiklopentadienil halqasında yerləşmiş H atomlarını ardıcıl olaraq daha çox sayda və böyük həcmli metil qrupları ilə əvəz etdikdə bu qruplarla CO liqandları arasında yaranan fəza (sterik) qarşılıqlı təsir get-gedə artır. Bu da qızdırıldıqda komplekslərin daha asan parçalanmasına şərait yaratmalıdır. Deməli, bizim araşdırduğumuz komplekslərdə  $n$ -nin qiyməti artıqca metil qruplarının elektrodonor xassələri hesabına kompleksin davamlılığı artır (Fe-CO rabitəsinin möhkəmlənməsi nəticəsində), metil qrupların CO liqandları ilə sterik qarşılıqlı təsirinin artması nəticəsində isə kompleksin davamlılığı azalır. Hər bir kompleksin

davamlılığında bu iki amildən hansının mühüm rol oynadığını təcrübədən əldə etmək olar. Cədvəldən görünür ki,  $n$  artdıqca komplekslərin davamlılığı artır, çünki bu istiqamətdə maddələrin ərimə temperaturları artır:  $194^{\circ}\text{C} \rightarrow 22^{\circ}\text{C} \rightarrow 226^{\circ}\text{C} \rightarrow \approx 280^{\circ}\text{C}$ . Lakin ərimə zamanı şiddətli parçalanma  $[\text{Me}_2\text{C}_5\text{H}_3\text{Fe}(\text{CO})_2]_2$  və  $[\text{Me}_3\text{C}_5\text{H}_2\text{Fe}(\text{CO})_2]_2$  kompleksləri misalında müşahidə olunur. Bu da o deməkdir ki, bu iki kompleksdə metil qruplarının CO liqandları ilə sterik qarşılıqlı təsiri CO liqandlarının sistemdən ayrılmasını asanlaşdıraraq özünü bürüzə verir. Halqanın hidrogen atomları metil qrupları ilə tam əvəz olunmuş  $[\text{Me}_5\text{C}_5\text{Fe}(\text{CO})_2]_2$  kompleksində 10 ədəd Me qrupunun Fe–CO rabitəsinə göstərdiyi elektron təsiri metil qruplarının sistemdə yaratdıqları sterik qarşılıqlı təsirindən daha üstündür. Ona görə məhz  $[\text{Me}_5\text{C}_5\text{Fe}(\text{CO})_2]_2$  kompleksi araşdırılan komplekslərdən ən davamlısıdır və onun daha yüksək temperaturda əriməsi zamanı parçalanması cüzi dərəcədə baş verir.

Bu fakt ona dəlalət edir ki, tərkibində, iki ədəd körpük karbonil qrupları vasitəsilə birləşmiş M–M fragamenti olan tsiklopentadienilkarbonil dimer komplekslərinin davamlılığı metil qruplarının sistemdə yaratdığı sterik gərginliklə bilavasitə müəyyən edilmir. Belə hallarda həm də elektron amilinin təsiri nəticəsində M–CO rabitəsinin davamlılığının dəyişməsini də nəzərə almaq lazımdır.

Qeyd etmək lazımdır ki, M–C(CO) və  $\text{C}\equiv\text{O}$  rabitələrin tərtibinin dəyişməsi onların uzunluqlarında da öz əksini tapmalıdır [5, s.137-139], [7,9,10]. Araşdırılan komplekslərdə bu əlaqənin olduğunu təsdiqləmək, həmçinin metal-tsiklopentadienil halqası və metal-karbonil qrupları arasındaki kimyəvi rabitələrin xüsusiyyətlərinin və molekulda xüsusiyyətlərin molekulyar və elektron quruluşları ilə əlaqələndirilmişdir.

2. İQ-spektroskopiya üsulu ilə göstərilmişdir ki,  $[\text{Me}_n\text{C}_5\text{H}_{5-n}\text{Fe}(\text{CO})_2]_2$  ( $n = 2, 3, 5$ ) sintez edilmiş, onların fiziki-kimyəvi xüsusiyyətləri müəyyən olunmuş və bu xüsusiyyətlər komplekslərin molekulyar və elektron quruluşları ilə əlaqələndirilmişdir. Digər tərəfdən, göstərilən ardıcılılıqda halqadakı metil qrupların sayının artması molekulda daha gərgin sterik qarşılıqlı təsirinin yaranmasına səbəb olur. Sadalanın 2 amilin (elektron və sterik) kompleksin davamlılığına əks istiqamətdə təsir etməsinə baxmayaraq sonuncu  $[\text{Me}_5\text{C}_5\text{Fe}(\text{CO})_2]_2$  kompleksində elektron amilin rolu müəyyənədicidir:  $[\text{Me}_2\text{C}_5\text{H}_3\text{Fe}(\text{CO})_2]_2$  və  $[\text{Me}_3\text{C}_5\text{H}_2\text{Fe}(\text{CO})_2]_2$  komplekslərdən fərqli olaraq  $[\text{Me}_5\text{C}_5\text{Fe}(\text{CO})_2]_2$  kompleksi daha yüksək temperaturda və parçalanmaya uğramadan əriyir.

## ƏDƏBİYYAT

- Harris J.D., Raffaelle R.P., Gennett T. Growth of multi-walled carbon nanotubes by injection CVD using cyclopenta-dienyliron dicarbonyl dimer and cyclooctatetraene iron tricarbonyl. Materials Science and Engineering B, 2005, V. 116, p. 369-374.
- Andrew M.Z., Nathanael D.C., Shawn M.H. Cyclopentadienyliron dicarbonyl dimer carbon nanotube synthesis. Journal of Vacuum Science & Technology B, 2015, V. 33 (1), p. 011204.
- Clark T.J., Christopher T.J., Luthra S. Synthesis and properties of sterically congested cyclopentadienes and their transition metal complexes. Journal of Organometallic Chemistry, 1993, V. 462, p. 247-257.
- Jay A. Labinger. Does Cyclopentadienyl Iron Dicarbonyl Dimer Have a Metal-Metal Bond? Who's Asking?. Inorganica Chimica Acta, 2015, V. 424, p. 14-19
- Лятифов И.Р. Стерические и электронные эффекты в строении и реакционной способности моно- и биядерных цикlopentadiенильных комплексов переходных металлов: / дис. докт. хим. наук / Ленинград, 1990, 442 с.
- Брауэр Г. Руководство по неорганическому синтезу: [в 6 томах]. – Москва: МИР, т. 6, 1986, 360 с.
- Боярский В.П., Бокач Н.А. Строение и свойства элементоорганических соединений переходных металлов и их применение в гомогенном металлокомплексном катализе. Санкт-Петербург, 2020, 54 с.

8. King R.B., Bisnette M.B. Organometallic chemistry of the transition metals XXI. Some  $\pi$ -pentamethylcyclopentadienyl derivatives of various transition metals. Journal of Organometallic Chemistry, V. 8, p. 287-297.
9. Бабин В.Н., Лятифов И.Р., Петровский П.В.  $^{13}\text{C}$  и  $^{17}\text{O}$  ЯМР-изучение СО лигандов гомологов цимантрена  $\text{Me}_n\text{CpMn}(\text{CO})_3$ . Металлоорг. химия, 1988, т.2, №4, с. 789.
10. Лятифов И.Р., Шахтахтинская А.Т., Абдулова Ш.Н. Исследование методом ЯМР  $^{13}\text{C}$  и  $^{17}\text{O}$  метильных гомологов  $[\text{CpFe}(\text{CO})_3]^+\text{PF}_6^-$  и  $\text{CpFe}(\text{CO})_2^+$  ( $\text{Cp}=\text{C}_5\text{H}_5$ ). Ж. Неорг. Хим. АН России, 1992, т.36, №10, с. 2320.

## BİS-(TSİKLOPENTADIENİLDİKARBONİLDƏMİR(I)) KOMPLEKSİNİN METİL HOMOLOQLARININ SİNTEZİ, İQ- VƏ $^1\text{H}$ NMR-SPEKTROSKOPİYA ÜSULLARI İLƏ TƏDQİQİ

N.Z.Ibrahimova, G.N.Şükürlü, Q.M.Cəfərov, İ.U.Lətifov

**Xülasə.** Tsiklopentadienin metil homoloqlarının (1,3-dimetil-, 1,2,4-trimetil- və 1,2,3,4,5-pentametiltsiklopentadienlerin) dəmirpentakarbonillə qarşılıqlı təsirindən dəmirin  $[\text{Me}_n\text{C}_5\text{H}_{5-n}\text{Fe}(\text{CO})_2]_2$  ( $n = 2, 3, 5$ ) tərkibli üç dimer kompleksi alınmışdır. Komplekslər ərimə temperaturları, infraqırmızı (İQ) və proton məqnit rezonans ( $^1\text{H}$  NMR) spektrləri ilə xarakterizə olunmuşdur. Müəyyən edilmişdir ki,  $[\text{C}_5\text{H}_5\text{Fe}(\text{CO})_2]_2 \rightarrow [\text{Me}_2\text{C}_5\text{H}_3\text{Fe}(\text{CO})_2]_2 \rightarrow [\text{Me}_3\text{C}_5\text{H}_2\text{Fe}(\text{CO})_2]_2 \rightarrow [\text{Me}_5\text{C}_5\text{Fe}(\text{CO})_2]_2$  ardıcılığında komplekslərin ərimə temperaturunun monoton şəkildə artmasına baxmayaraq halqasında 2 və 3 ədəd metil qrupu olan komplekslər ( $n = 2, 3$ ) ərimə zamanı şiddetli termiki parçalanmaya uğrayır. Göstərilən sırada  $\text{C}\equiv\text{O}$  rabitəsinin valent rəqsi tezliklərinin dəyişməsinin səbəblərinin araşdırılması (təhlili) komplekslərin müşahidə olunan termiki davranışlarını metil və karbonil qrupları arasında yaranan sterik və elektron qarşılıqlı təsirləri ilə əlaqələndirməyə imkan vermişdir. Əldə olılmış nəticələr onu deməyə əsas verir ki, tədqiq edilmiş dörd kompleks arasında tsiklopentadienil halqasında iki və üç metil qrupu olan komplekslər ( $[\text{Me}_2\text{C}_5\text{H}_3\text{Fe}(\text{CO})_2]_2$ ,  $[\text{Me}_3\text{C}_5\text{H}_2\text{Fe}(\text{CO})_2]_2$ ) karbon nanoborularının sintezində prekursor kimi daha perspektivlidir.

**Açar sözlər:** bis-(tsiklopentadienildikarbonildəmir(I)), termiki davamlılıq, sterik və elektron qarşılıqlı təsir, rabitənin valent rəqsi tezliyi

Accepted: 01.11.2023